

УДК 621.315.592

©1994 г.

**ОМИЧЕСКИЙ КОНТАКТ
МЕТАЛЛ-ПОЛУПРОВОДНИК A^{III}B^V:
МЕТОДЫ СОЗДАНИЯ И СВОЙСТВА.**

О б з о р

Ю.А. Гольдберг

Физико-технический институт им. А.Ф. Иоффе Российской Академии Наук.
194021, Санкт-Петербург, Россия
(Получен 28 января 1994 г. Принят к печати 22 февраля 1994 г.)

Рассмотрены методы создания и характеристики омических контактов металл-полупроводник A^{III}B^V. Приведена энергетическая диаграмма контакта в случаях, когда барьер между металлом и полупроводником устранен, сужен (за счет образования приповерхностного сильно легированного слоя) или снижен (за счет создания узкозонного слоя). Приведены характеристики омических контактов, изготовленных путем вплавления, химических реакций в твердой фазе, лазерного отжига, эпитаксии, диффузии, ионной имплантации, изменения свойств поверхности полупроводника. Проанализированы теоретические и экспериментальные зависимости сопротивления омических контактов от концентрации носителей заряда и ширины заперещенной зоны полупроводника в случаях, когда сопротивление определяется протеканием тока через границу металл-полупроводник либо через *l-h*-переход, созданный вблизи этой границы.

1. Энергетическая диаграмма

1.1. Модель Шоттки. Как известно, контакт металл-полупроводник может быть как вентильным, когда на границе раздела проявляется потенциальный барьер, так и омическим, когда такого барьера нет. Уже более 50 лет назад было замечено, что на границе Ni-CdS существует барьер, а на границе Al-CdS его нет, и Шоттки [1] предположил, что барьер образуется из-за того, что работа выхода электронов из металла Φ_m больше сродства к электрону полупроводника χ_s . Рассмотрим здесь (и далее, если это специально не отмечено) контакт металла с полупроводником *n*-типа. Электроны переходят из полупроводника в металл и заряжают его отрицательно. В полупроводнике остается положительный заряд нескомпенсированных доноров. Так

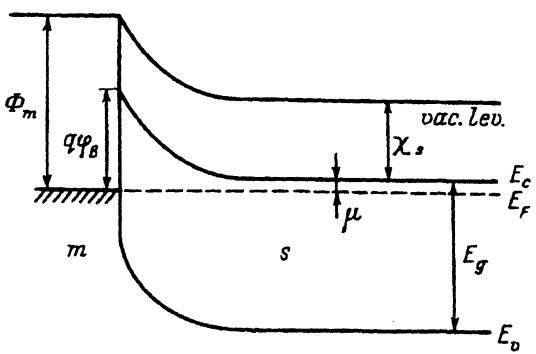


Рис. 1. Энергетическая диаграмма вентильного контакта металл-полупроводник при $\Phi_m > \chi_s$ и $Q_{ss} = 0$.

как концентрация доноров (обычно $N_d = 10^{14} \div 10^{20} \text{ см}^{-3}$) намного меньше концентрации электронов в металле ($\sim 10^{23} \text{ см}^{-3}$), заряд в полупроводнике распространяется на достаточно большую глубину W [2]:

$$W = \left[\frac{2\epsilon_s \epsilon_0 (U_d - U - \frac{kT}{q})}{qN_d} \right]^{1/2}. \quad (1)$$

Здесь ϵ_s и ϵ_0 — диэлектрические проницаемости полупроводника и вакуума, U_d — диффузионная, или контактная, разность потенциалов, U — приложенное напряжение, k — постоянная Больцмана, T — абсолютная температура, q — заряд электрона. В приповерхностной области полупроводника возникает электрическое поле; на энергетической диаграмме появляется параболический изгиб энергетических зон (рис. 1). Высота потенциального барьера металл-полупроводник составляет

$$q\varphi_B = \Phi_m - \chi_s. \quad (2)$$

Когда же $\Phi_m \leq \chi_s$, то на границе раздела отсутствует потенциальный барьер для основных носителей заряда, т.е. образуется омический контакт (рис. 2).

Такая ситуация характерна для ряда полупроводников $A^{II}B^{VI}$, например, для контакта металлов с n -CdS [3,4] (табл. 1).

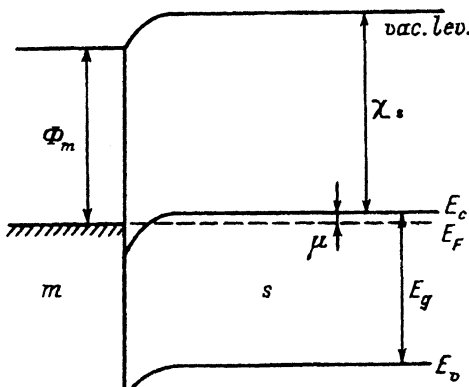


Рис. 2. Энергетическая диаграмма омического контакта металл-полупроводник при $\Phi_m < \chi_s$ и $Q_{ss} = 0$.

Таблица 1. Ожидаемая и реальная высота потенциального барьера металл-*n*-CdS

Металл	Φ_m , эВ	χ_s , эВ	$\Phi_m - \chi_s$, эВ	$q\varphi_B$, эВ (эксперимент)
Pt	5.5	4.77	0.73	0.85
Ni	5.15	4.77	0.38	0.45
Al	4.18	4.77	< 0	Омический

1.2. *Модель Бардина.* Однако в 40–50-х годах, когда получили развитие полупроводники A^{III}B^V, было обнаружено, что высота потенциального барьера металл–полупроводник часто почти не зависит от работы выхода электронов из металла. Например, сравним ожидаемую и реальную высоту барьера металл-*n*-GaAs [3,4] (табл. 2).

Бардин [5] предположил, что на свободной поверхности полупроводника, еще до контакта с металлом, существуют поверхностные состояния, например, уровни Тамма или уровни, обусловленные постоянными (адсорбированными) атомами. Электроны переходят из толщи полупроводника на поверхность, в приповерхностной области остается заряд нескомпенсированных доноров, и появляется электрическое поле.

Поверхностные состояния характеризуются уровнем нейтральности φ_0 , выше которого состояния пустые, а ниже — заполнены электронами. Когда металл контактирует с такой поверхностью полупроводника, то заряды в металле Q_m , в полупроводнике Q_s и поверхностных состояниях Q_{ss} перераспределяются так, что

$$Q_m + Q_s + Q_{ss} = 0. \quad (3)$$

Эти состояния закрепляют поверхностный уровень Ферми E_F на уровне нейтральности φ_0 . Действительно, пусть φ_0 оказался выше E_F . Тогда поверхностные состояния будут иметь более положительный заряд, и величина положительного заряда Q_s , согласно (3), должна уменьшиться. Следовательно, должна уменьшиться ширина слоя объемного заряда W , и, согласно (1), уменьшиться U_d . Высота потенциального барьера

$$q\varphi_B = qU_d + \mu \quad (4)$$

(здесь μ — энергия уровня Ферми) также уменьшится, а это означает, что произойдет сдвиг уровня нейтральности по направлению к E_F .

Таблица 2. Ожидаемая и реальная высота потенциального барьера металл-*n*-GaAs

Металл	Φ_m , эВ	χ_s , эВ	$\Phi_m - \chi_s$, эВ	$q\varphi_B$, эВ (эксперимент)
Pt	5.5	4.12	1.38	0.86
Au	5.2	4.12	1.08	0.90
Cu	4.59	4.12	0.47	0.82
Ag	4.42	4.12	0.30	0.88
Al	4.18	4.12	0.06	0.80
Hf	3.9	4.12	< 0	0.72

При плотности поверхностных состояний, большей $\sim 10^{12} \text{ см}^{-2}$, уровень Ферми практически закреплен поверхностными состояниями на уровне нейтральности, и после приложения к поверхности металла уровень Ферми практически не меняет своего положения. Высота потенциального барьера $q\varphi_B$ полностью определяется энергетическим расположением поверхностных состояний в запрещенной зоне полупроводника и не зависит от работы выхода электрона из металла.

Во многих полупроводниках типа A^{IV} и $A^{III}B^V$ (Si, GaAs, InP и др.) поверхностные состояния расположены в нижней части запрещенной зоны, и для этих полупроводников [6] и твердых растворов на их основе [7] $q\varphi_B \simeq (2/3)E_g$ (E_g — ширина запрещенной зоны). В GaP поверхностные состояния расположены вблизи середины запрещенной зоны, и $q\varphi_B \simeq (1/2)E_g$.

Если поверхностные уровни расположены в зоне проводимости полупроводника или вблизи края этой зоны, то на границе нет потенциального барьера для основных носителей заряда, и контакт любого металла с этим полупроводником — омический. Таким полупроводником является n -InAs [8,9].

1.3. Модель Спайсера. Дальнейшие исследования касались выяснения природы поверхностных состояний. Спайсер [10,11] изучал электрическое поле на свободной поверхности полупроводников GaAs и InP методами поляризации отраженного света и энергетического спектра электронов, выбитых светом из полупроводника. Было установлено, что на поверхности полупроводников, сколотых в высоком вакууме, нет электрического поля, и уровень Ферми не закреплен в запрещенной зоне. После попадания на эту поверхность посторонних атомов, например, кислорода или металлов, на поверхности создаются состояния, закрепляющие уровень Ферми на обычном для этих полупроводников месте. Для этого необходимо менее 1 монослоя посторонних атомов, причем дальнейший рост толщины слоя не приводит к изменению положения уровня Ферми. Поверхностные состояния связаны не с примесями, а с собственными дефектами, например, дефектами перестановки, или комплексами с участием вакансий. Поэтому эти состояния располагаются в одном и том же месте. Роль посторонних атомов заключается в предоставлении необходимой энергии для образования собственных дефектов.

На свободной поверхности большинства полупроводников, находящихся при нормальных условиях, уровень Ферми закреплен, а контакт металла с этой поверхностью — вентильный. Толщина слоя, определяющего вентильные свойства контакта, оцененная по переходу вентильного контакта в омический при непрерывном растворении полупроводника в металле, оказалась близкой к толщине монослоя полупроводника [12].

Отметим, что, согласно [13,14], причиной, вызывающей поверхностные состояния в GaAs и InAs, являются атомы As на поверхности. В результате высота потенциального барьера определяется величиной $\Phi_{As} - \chi_s$. Учитывая, что $\Phi_{As} = 5.11 \text{ эВ}$, $\chi_{GaAs} = 4.12 \text{ эВ}$ и $\chi_{InAs} = 5.07 \text{ эВ}$, то $q\varphi_B$ для случаев GaAs ($\sim 0.9 \text{ эВ}$) и InAs (~ 0) соответствуют эксперименту.

Итак, контакт металлов с большинством широко используемых полупроводников при нормальных условиях — вентильный, и для создания омического контакта необходимы специальные методы.

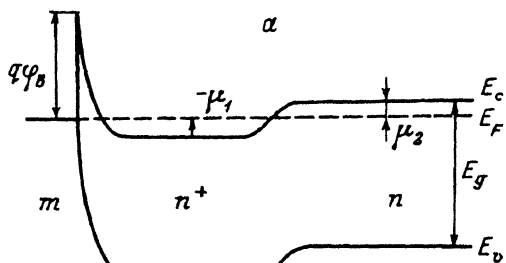
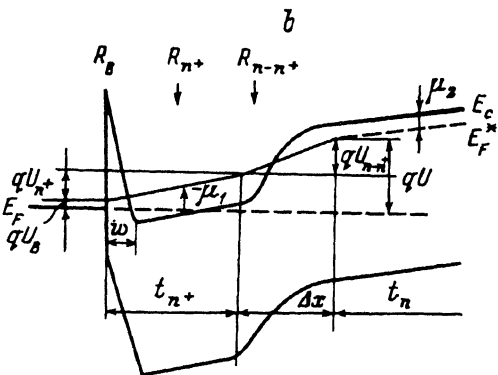


Рис. 3. Энергетическая диаграмма туннельного омического контакта с сильно легированным приповерхностным слоем:
а — в термическом равновесии,
б — после приложения напряжения U . U_{n-n^+} и R_{n-n^+} — падение напряжения на $n-n^+$ -переходе и связанное с ним сопротивление, U_{n^+} и R_{n^+} — падение напряжения на n^+ -области и связанное с ним сопротивление, U_B и R_B — падение напряжения на барьере металл-полупроводник и связанное с ним сопротивление.



1.4. *Омический контакт.* Омический контакт может быть создан тремя основными способами.

1. Барьер между металлом и полупроводником устраниется, т.е.: а) плотность поверхностных состояний уменьшается, и используются такие металлы, для которых $\Phi_m \leq \chi_s$ (рис. 2); б) плотность поверхностных состояний не изменяется, но на поверхность вносятся такие дефекты, которые закрепляют уровень Ферми вблизи края зоны проводимости; в этом случае можно использовать любые металлы. Сопротивление контакта при этом будет определяться лишь сопротивлением приконтактной области полупроводника.

2. Барьер между металлом и полупроводником сохраняется, но за счет сильного легирования приповерхностного слоя он сужается настолько, что основным механизмом протекания тока становится туннелирование (рис. 3). Вероятность туннелирования экспоненциально возрастает с уменьшением ширины слоя объемного заряда и, следовательно, с ростом концентрации ионизованных доноров N_d . Сопротивление контакта включает сопротивление, связанное с туннельным переходом электронами границы раздела, сопротивление приконтактной области и сопротивление, обусловленное $l-h$ ($n-n^+$ или $p-p^+$)-переходом.

3. Барьер между металлом и полупроводником сохраняется, но за счет образования приповерхностной узкозонной области, его высота сильно уменьшается. Обычно между узкозонным и базовым полупроводником создается варизонный слой, в котором ширина запрещенной зоны убывает по направлению к металлу (рис. 4). В этом случае целесообразно использовать уникальные свойства поверхности $n\text{-InAs}$ (рис. 5). Сопротивление контакта включает сопротивление, связанное

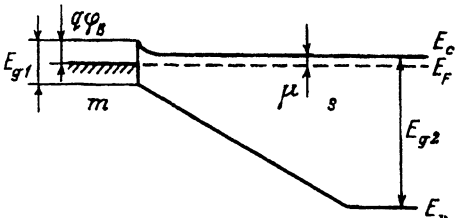


Рис. 4. Энергетическая диаграмма омического контакта к полупроводнику с шириной запрещенной зоны E_{g2} с узкозонной (E_{g1}) приповерхностной областью.

с переходом электронами границы раздела (обычно за счет термоэлектронной эмиссии), и сопротивление приконтактной (обычно варизонной) области.

Отметим, что кроме этих трех способов, предложены и другие, например создание между металлом и полупроводником аморфного слоя [15], но они получили меньшее развитие.

2. Технология

2.1. Управление положением уровня Ферми. Пока не разработаны способы изменения положения уровня Ферми на поверхности при сохранении высокой плотности поверхностных состояний. Однако начались исследования по уменьшению плотности поверхностных состояний, что может привести к переходу от модели Бардина к модели Шоттки в омическом контакте. Для связывания находящегося на поверхности GaAs мышьяка эту поверхность обрабатывали рутением [16]. Хотя этот метод не оказался эффективным, попутно обнаружилось, что Ru образует омический контакт к p -GaAs с сопротивлением $R_c = 9 \cdot 10^{-6} \text{ Ом} \cdot \text{см}^2$ при $p = 5 \cdot 10^{18} \text{ см}^{-3}$ [17]. Эффективным средством для обработки поверхности GaAs стали растворы серосодержащих соединений, например Na_2S [18,19] и $(\text{NH}_4)_2\text{S}/(\text{NH}_4)_2\text{S}_x$ [19–22]. Плотность поверхностных состояний в GaAs, которая до обработки составляла $> 7 \cdot 10^{13} \text{ см}^{-2} \text{ эВ}^{-1}$ уменьшалась до $2 \cdot 10^{13} \text{ см}^{-2} \text{ эВ}^{-1}$ после обработки в $(\text{NH}_4)_2\text{S}$ и до $1 \cdot 10^{13} \text{ см}^{-2} \text{ эВ}^{-1}$ — после обработки в $(\text{NH}_4)_2\text{S}_x$, что привело к существенному различию в высотах потенциального барьера для $\text{Au}-n\text{-GaAs}$ (0.9 эВ) и $\text{Al}-n\text{-GaAs}$ (0.63 эВ). После такой обработки с поверхности GaAs удаляются посторонние атомы, и на ней закрепляются атомы S в результате физической адсорбции. При этом выделяется энергия ($< 40 \text{ кДж/моль}$), меньшая, чем при химической адсорбции ($> 100 \text{ кДж/моль}$), что уменьшает вероятность образования собственных дефектов и закрепления уровня Ферми на поверхности.

Омические контакты $\text{Al}-n\text{-GaAs}$, созданные за счет обработки поверхности GaAs в H_2S имели $R_c = (1 \div 3) \cdot 10^{-4} \text{ Ом} \cdot \text{см}^2$ при $n = 1 \cdot 10^{18} \text{ см}^{-3}$ и $R_c = (0.7 \div 1.5) \cdot 10^{-6} \text{ Ом} \cdot \text{см}^2$ при $n = 2 \cdot 10^{19} \text{ см}^{-3}$ [23].

Первые работы по омическому контакту к GaN показали, что для этого случая может выполняться модель Шоттки: контакт $\text{Au}-n\text{-GaN}$ был вентильным, в то время как контакт $\text{Al}-n\text{-GaN}$ — омическим с $R_c = 10^{-3} \div 10^{-4} \text{ Ом} \cdot \text{см}^2$ при $n = 3 \cdot 10^{18} \text{ см}^{-3}$ [24].

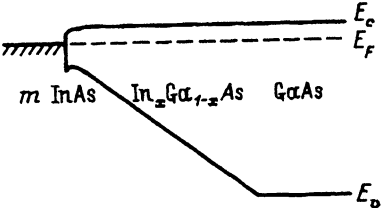


Рис. 5. Энергетическая диаграмма варизонного омического контакта к n -GaAs с приповерхностной областью $\text{InAs-In}_x\text{Ga}_{1-x}\text{As}$.

2.2. Сплавление. Теперь рассмотрим способы образования сильно легированных и варизонных слоев, из которых наиболее распространено сплавление. Оно может быть основано, во-первых, на традиционном вплавлении металлов в полупроводник, при котором металл расплывается, в нем растворяется полупроводник, и при охлаждении вырастает рекристаллизованный слой («вплавные» контакты); во-вторых, на химических реакциях в твердой фазе, когда температура образования контактообразующих соединений ниже температуры плавления металла или эвтектики металла и полупроводника («невплавные» контакты).

Вещества, используемые для создания контакта, содержат контактообразующие металлы и легирующие примеси.

В качестве контактообразующего металла часто используется Au. Слои Au имеют низкое сопротивление, высокую стойкость к окислению, хорошую совместимость со стандартными способами изготовления интегральных схем, а контакты на основе Au имеют низкое сопротивление.

В качестве легирующих примесей для образования сильно легированных слоев используются доноры и акцепторы, а для образования узкозонных слоев — изовалентные примеси. В GaAs донорами служат элементы VI и IV групп. Однако Se и Te — летучие примеси, а Sn имеет высокую растворимость в GaAs ($\sim 10^{20} \text{ см}^{-3}$), но электрически активных примесей получается на $1\frac{1}{2}$ порядка меньше. Наиболее употребительными донорами стали Ge и Si. В частности, Ge, во-первых, является донором с высокой растворимостью ($8 \cdot 10^{19} \text{ см}^{-3}$), во-вторых, он образует узкозонный слой, снижая высоту барьера металл-полупроводник до ~ 0.5 эВ, в-третьих, разрыв зон проводимости в системе Ge-GaAs достаточно мал (~ 0.1 эВ), и, в-четвертых, сам Ge может быть легирован As до высоких концентраций ($\sim 10^{20} \text{ см}^{-3}$) [25]. Наиболее распространенным акцептором является Zn из-за его высокой растворимости ($\sim 2 \cdot 10^{20} \text{ см}^{-3}$). Для создания узкозонных слоев используется In, образующий ряд твердых растворов In-Ga-As, в которых ширина запрещенной зоны изменяется в интервале $0.4\text{--}1.4$ эВ, а контакт металлов с n-InAs не содержит потенциального барьера.

Рассмотрим процесс образования широко используемых контактов Au/Ge/Ni к n-GaAs [26–40]. С ростом температуры в контактах Ni/(Au+Ge(27%))/Ni/Au-n-GaAs [40] происходят следующие процессы. Вначале Ge диффундирует из сплава Au+Ge в верхний слой Ni, а нижний слой Ni взаимодействует с GaAs с образованием Ni_xGaAs . При $375\text{--}440^\circ\text{C}$ Au реагирует с Ga и образует фазу $\beta\text{-AuGa}$, а Ge проникает в Ni_xGaAs , замещая Ga, и образуется структура $\beta\text{-AuGa}/\text{NiAs}(\text{Ge})/\text{GaAs}$, которая является основой омического контакта.

Сопротивление контактов Au/Ge/Ni к n-GaAs составляло $3.6 \cdot 10^{-6} \text{ Ом} \cdot \text{см}^2$ (при $n = 1 \cdot 10^{16} \text{ см}^{-3}$) [39], $1 \cdot 10^{-6} \text{ Ом} \cdot \text{см}^2$ (при $n = 2 \cdot 10^{16} \text{ см}^{-3}$) [36], $5 \cdot 10^{-7} \text{ Ом} \cdot \text{см}^2$ (при $n = 1.5 \cdot 10^{17} \text{ см}^{-3}$), $4 \cdot 10^{-7} \text{ Ом} \cdot \text{см}^2$ (при $n = 2.2 \cdot 10^{18} \text{ см}^{-3}$) [38].

Основным недостатком золотосодержащих контактов является сильное взаимодействие Au и GaAs, что приводит к неоднородностям структуры контакта, неплоскому фронту вплавления и существенному боковому проплавлению.

Для устранения этих недостатков используется Ag вместо Ni [41], так как твердый раствор Au–Ag существенно слабее реагирует с GaAs, либо Au заменяется на Al [42]. Сопротивление контактов Pd/(Au+Ge)/Ag/Au–n-GaAs после вплавления при 450–500 °C было $2 \cdot 10^{-6}$ Ом · см² [41], а сопротивление контактов Al/Ge/Ni–GaAs было $3.6 \cdot 10^{-5}$ Ом · см² в случае n-GaAs с $n = 10^{18}$ см⁻³ и $5.8 \cdot 10^{-6}$ Ом · см² в случае p-GaAs с $p = 1.4 \cdot 10^{19}$ см⁻³, при этом создавалась почти атомно-гладкая граница раздела между Al₃Ni и GaAs [42].

Контакты невплавного типа обычно создаются на основе тугоплавких металлов, таких как Pd. В контакте Si/Pd–n-GaAs [43,44] при $T < 100$ °C на границе Pd–GaAs образуется слой Pd₄GaAs, при 200–275 °C на границе Pd–Si образуется слой Pd₂Si. Si диффундирует через Pd₄GaAs, и при 375 °C начинает расти слой GaAs, легированного Si. Контакты к n-GaAs ($n = 1 \cdot 10^{18}$ см⁻³), вплавленные при 375 °C, содержали слой n⁺-типа ($n^+ = 2 \cdot 10^{19}$ см⁻³) и имели $R_c = (2 \div 6) \cdot 10^{-6}$ Ом · см².

В контактах a-Ge:Sb/Pd–n-GaAs [45] вначале образуется Pd₂Ge и PdGe, а затем Pd_xGaAs. При $T > 400$ °C Ge проникает через PdGe в GaAs и при этом происходит, во-первых, легирование GaAs, и, во-вторых, рост кристаллического слоя Ge:Sb на поверхности GaAs. Сопротивление такого контакта было $2 \cdot 10^{-6}$ Ом · см².

В структурах Au/Ge–GaAs, подвергнутых термообработке при температуре ниже температуры плавления эвтектики, контакт Au и Ge (356 °C) образуется [46–50] за счет быстрого (< 5 мин) перемешивания компонент на границе раздела, что приводит к снижению высоты барьера до ~ 0.4 эВ и медленной (~ 3 ч) диффузии Ge и образования фазы Au–Ge [50].

Теперь рассмотрим образование узкозонного слоя на примере контакта W/(Ni+In)/Ni–n-GaAs [51]. При 300 °C Ni взаимодействует с GaAs, образуя Ni₂GaAs, а In перемешивается с W и Ni₂GaAs. При 700 °C на границе Ni₂GaAs–GaAs появляется фаза In_xGa_{1-x}As с $x = 0.6$ и включения NiAs, а при 900 °C образуется слой In_xGa_{1-x}As почти на 90% поверхности GaAs.

В случае InP контакт может создаваться за счет выращивания слоя твердого раствора In–Sb–P. Контакты W/Sb–n-InP и W/In/Sb–p-InP, термообработанные при 400 °C, имели $R_c = 10^{-6}$ Ом · см² [52].

2.3. Лазерный отжиг. Лазерный отжиг — это вариант метода сплавления. Особенностями его являются быстрый нагрев и быстрое охлаждение; в результате уменьшаются потери летучих компонентов, предотвращается нежелательная диффузия, а концентрация легирующей примеси может даже превосходить равновесный предел растворимости [53–55].

Контакт Ni/(Au+Ge)–n-GaAs ($n = 5 \cdot 10^{18}$ см⁻³) имел после обычного вплавления (450 °C) $R_c = 6.7 \cdot 10^{-5}$ Ом · см², после отжига Хе-лазером — $R_c = 5.6 \cdot 10^{-5}$ Ом · см², а после отжига рубиновым лазером — $R_c = 2 \cdot 10^{-6}$ Ом · см² [53].

Контакт Ni/(Ag+Ge)–n-GaAs ($n = 5 \cdot 10^{18}$ см⁻³) имел при обычном вплавлении (600 °C) $R_c = 3.7 \cdot 10^{-5}$ Ом · см², а после отжига Хе-лазером — $R_c = 9.5 \cdot 10^{-5}$ Ом · см² [53].

2.4. Эпитаксия. Эпитаксию можно рассматривать как метод, при котором исключено (или сведено к минимуму) растворение исходного полупроводника в металлах.

Газофазная эпитаксия позволяет выращивать слои GaAs, легированные S и Se до концентрации $n = 3 \cdot 10^{18} \text{ см}^{-3}$, жидкофазная — слои GaAs:Ge с $n = 8 \cdot 10^{19} \text{ см}^{-3}$ и слои InP:Zn с $p = 4 \cdot 10^{18} \text{ см}^{-3}$, молекулярная — слои GaAs:Sn с $n = 8 \cdot 10^{18} \text{ см}^{-3}$, GaAs:Be с $p = 3 \cdot 10^{19} \text{ см}^{-3}$, GaAs:Si с $n = 10^{19} \text{ см}^{-3}$.

Методом молекулярной эпитаксии в [56] на n -GaAs ($n = 2 \cdot 10^{18} \text{ см}^{-3}$) был выращен слой n^+ -Ge ($n^+ = 2 \cdot 10^{19} \text{ см}^{-3}$), и при этом $R_c = 10^{-7} \text{ Ом} \cdot \text{см}^2$, а в [57] на GaAs при 550–610 °C был выращен слой GaAs, легированный Si до 10^{20} см^{-3} (концентрация доноров была при этом $\sim 10^{19} \text{ см}^{-3}$), и $R_c = 1.3 \cdot 10^{-6} \text{ Ом} \cdot \text{см}^2$.

Эпитаксия особенно удобный метод для создания узкозонных слоев, например, $\text{In}_x\text{Ga}_{1-x}\text{As}$ ($x = 0 \div 1$) для контактов к GaAs; хотя InAs не удается легировать до такой высокой степени, как GaAs, но из-за сильного уменьшения высоты барьера создается низкоомный контакт. Например, в [58] на GaAs жидкофазной эпитаксией был выращен вариационный слой $\text{In}_x\text{Ga}_{1-x}\text{As}$, в котором x изменялся от 0.01 до 0 на длине 0.25 мкм. Хотя концентрация доноров в слое была всего $3 \cdot 10^{18} \text{ см}^{-3}$, но благодаря низкому барьеру R_c составило $5 \cdot 10^{-7} \div 5 \cdot 10^{-6} \text{ Ом} \cdot \text{см}^2$ [58]. Еще меньшие значения сопротивления контактов к n -GaAs были получены в [59]: $R_c = 1.7 \cdot 10^{-8} \text{ Ом} \cdot \text{см}^2$ (при $n = 10^{18} \text{ см}^{-3}$) и в [60]: $R_c = 5 \cdot 10^{-9} \text{ Ом} \cdot \text{см}^2$ (при $n = 10^{19} \text{ см}^{-3}$).

Контакт к p -GaAs ($p = 3.8 \cdot 10^{19} \text{ см}^{-3}$) создавался методом молекулярной эпитаксии путем выращивания на нем слоя p^+ -GaAs:С ($p^+ = 4 \cdot 10^{20} \text{ см}^{-3}$), при этом $R_c \simeq 10^{-7} \text{ Ом} \cdot \text{см}^2$ [61].

Исключительно низким сопротивлением (менее $8.5 \cdot 10^{-8} \text{ Ом} \cdot \text{см}^2$) обладали контакты к n -GaAs ($n = 5 \cdot 10^{17} \text{ см}^{-3}$), представляющие собой сверхрешетку n^+ -InAs/ n^+ -GaAs, InAs слои имели толщину 5 Å и $n^+ = 1 \cdot 10^{19} \text{ см}^{-3}$, GaAs слои имели толщину 10 Å и $n^+ = 5 \cdot 10^{18} \text{ см}^{-3}$; сверхрешетка изготавливалаась молекулярной эпитаксией [62,63].

2.5. Диффузия. Диффузия обычно используется для контактов к p -GaAs из-за возможности создать высокую поверхностную концентрацию дырок ($> 10^{20} \text{ см}^{-3}$). Преимуществом диффузии является постепенное изменение концентрации по толщине, что уменьшает влияние $l-h$ -перехода на сопротивление контакта, а недостатком — трудность получения контакта к полупроводникам n -типа из-за низкой поверхностной концентрации ($\sim 10^{18} \text{ см}^{-3}$).

В [64] контакт к p -GaAs ($p = 10^{18} \text{ см}^{-3}$) создавался путем одновременной диффузии Zn и In из смеси InAs+ZnAs₂. В результате приповерхностная область была легирована Zn до концентрации $2 \cdot 10^{20} \text{ см}^{-3}$, и в ней создавался тонкий слой In_{0.1}Ga_{0.9}As.

После напыления на поверхность слоев Ti (50 нм), Pt (100 нм) и Au (300 нм) сопротивление контакта было $5 \cdot 10^{-6} \div 5 \cdot 10^{-7} \text{ Ом} \cdot \text{см}^2$.

2.6. Ионная имплантация. Сильно легированная приконтактная область может быть образована в результате имплантации ионов, причем наиболее распространенными донорами являются Si и Se (поверхностная концентрация $2.5 \cdot 10^{15} \text{ см}^{-2}$), а акцепторами — Zn, Cd и Be (поверхностная концентрация 10^{16} см^{-2}).

В результате имплантации ионов Si уровень легирования приповерхностного слоя GaAs превосходил 10^{18} см^{-3} , а $R_c = 5 \cdot 10^{-7} \text{ Ом} \cdot \text{см}^2$ [65], для случая ионов Se+Ga $n = 1.8 \cdot 10^{19} \text{ см}^{-3}$ и $R_c = 2.9 \cdot 10^{-7} \text{ Ом} \cdot \text{см}^2$ [66], а в случае имплантации ионов Se $n = 1.2 \cdot 10^{19} \text{ см}^{-3}$ [67] и $n = 4 \cdot 10^{19} \text{ см}^{-3}$ при $R_c = 6 \cdot 10^{-6} \text{ Ом} \cdot \text{см}^2$ [68].

Недостатком ионной имплантации является создание ионами радиационных дефектов в полупроводнике, для залечивания которых требуется высокотемпературная ($900 \div 1000^\circ\text{C}$) термообработка.

3. Контактное сопротивление

Основной параметр омического контакта — сопротивление, приведенное к единице площади. Оно складывается из сопротивления, связанного с переходом границы раздела носителями заряда, и сопротивления приконтактного слоя.

3.1. Сопротивление, связанное с переходом границы раздела, зависит от механизма протекания тока в омическом контакте. Рассмотрим два крайних случая — термоэлектронную эмиссию и туннелирование.

3.1.1. Модель термоэлектронной эмиссии должна работать в контактах с низкой концентрацией носителей в приконтактной области, когда [4] $qE_{00} \ll kT$, где E_{00} — параметр Падовани и Страттона [69], равный

$$E_{00} = \frac{\hbar}{2} \left(\frac{N}{m^* \epsilon_s \epsilon_0} \right)^{1/2} = 18.5 \cdot 10^{15} \left(\frac{N_d}{m^* \epsilon_s \epsilon_0} \right)^{1/2}, \quad (5)$$

$\hbar = h/2\pi$ — постоянная Планка, m^* — эффективная масса носителей. Этот параметр имеет смысл контактной разности потенциалов, при которой вероятность туннельного прохождения барьера носителем с энергией, соответствующей дну зоны проводимости, равна $1/e$.

Зависимость плотности тока термоэлектронной эмиссии J от напряжения U имеет вид [4]

$$J = J_0 \exp \left(\frac{qU}{kT} - 1 \right) = A^* T^2 \left[-\frac{q(\varphi_B - \Delta\varphi_B)}{kT} \right] \left[\exp \left(\frac{qU}{kT} - 1 \right) \right], \quad (6)$$

где J_0 — плотность тока насыщения, $\Delta\varphi_B$ — понижение барьера силами изображения или другими причинами, A^* — постоянная Ричардсона, равная $A^* = 4\pi q m^* k^2 / \hbar^3$.

Сопротивление контакта —

$$R_c = \frac{dU}{dJ} \Big|_{U=0} = \frac{kT}{qJ_0} = \frac{k}{qA^* T} \exp \left[\frac{q(\varphi_B - \Delta\varphi_B)}{kT} \right]. \quad (7)$$

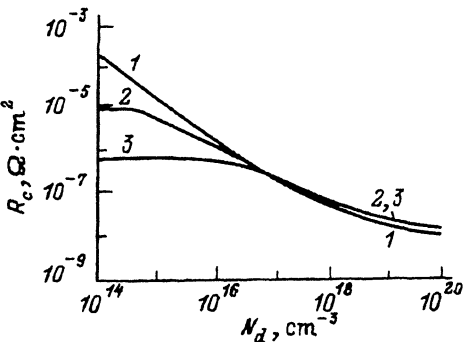


Рис. 6. Теоретическая зависимость минимального сопротивления контакта R_c от концентрации носителей заряда N_d при термоэмиссионном механизме протекания тока для различных полупроводников n -типа [70]: 1 — GaAs и InP, 2 — InAs, 3 — InSb. $T = 300$ K.

Таким образом, если протекание тока через омический контакт определяется термоэлектронной эмиссией, то его сопротивление должно экспоненциально возрастать с увеличением высоты барьера.

Минимальное сопротивление контакта (рис. 6) равно [70]

$$R_{c \min} = \frac{k}{qA^*T} \cdot \frac{1}{\ln[1 + \exp(-\mu/kT)]}. \quad (8)$$

Здесь энергия уровня Ферми μ отсчитана от края зоны проводимости. В случае невырожденных полупроводников n -типа, когда $\mu \gg kT/q$,

$$R_{c \min} = \frac{k}{qA^*T} \exp(\mu/kT) = \frac{k}{qA^*T} \frac{N_c}{N_d} = \frac{(2\pi m^*kT)^{1/2}}{q^2 N_d}. \quad (9)$$

Здесь N_c — плотность состояний в зоне проводимости, а N_d — концентрация ионизованных доноров. При этом для контакта металл- n -GaAs [71]

$$R_{c \min} = 1.55 \cdot 10^{-5} (T/300)^{1/2} (10^{15} N_d) \quad (10)$$

(здесь T выражено в K, N_d — в см^{-3} , $R_{c \min}$ — в $\text{Ом} \cdot \text{см}^2$), т.е. в случае невырожденных полупроводников минимальная величина сопротивления омического контакта должна быть обратно пропорциональна концентрации носителей заряда в полупроводнике.

В случае вырожденных полупроводников n -типа, когда $\mu < -kT/q$ [70]

$$R_{c \min} = \frac{k}{qTA^*[1 + 2\alpha(-\mu)]} \frac{kT}{(-\mu)}, \quad (11)$$

где α — параметр непарabolичности, равный 0.64 эВ^{-1} для GaAs, 0.67 эВ^{-1} для InP, 5.72 эВ^{-1} для InSb.

3.1.2. Туннельная модель должна быть справедливой для контактов с высокой концентрацией носителей в полупроводнике, когда [4]

$$qE_{00} \gg kT.$$

Если аппроксимировать барьер металл–полупроводник барьером треугольной формы высотой $q\varphi_B$, то вероятность туннелирования электронов на уровне энергии, меньшей $q\varphi_B$ на величину ΔE , составляет [4]

$$P \sim \exp \left[-2(\Delta E)^{3/2} / 3E_{00}U_d^{1/2} \right], \quad (12)$$

а сопротивление контакта [72]

$$R_c \sim \exp \left[\frac{2\sqrt{\epsilon_s \epsilon_0 m^*}}{\hbar} \left(\frac{\varphi_B}{N_d} \right) \right]. \quad (13)$$

Если учесть еще и понижение барьера, то, согласно [28],

$$R_c \simeq \frac{kTE_{00}^{1/2}}{qA^*T^2(qU_d)^{1/2}} \exp(qU_d/E_{00}) \exp(\mu/kT). \quad (14)$$

Таким образом, если протекание тока через омический контакт определяется туннелированием, то его сопротивление должно экспоненциально расти с уменьшением концентрации носителей и ростом высоты потенциального барьера. Зависимость сопротивления омического контакта металл– n -GaAs от концентрации электронов в GaAs при различных значениях высоты барьера рассчитана в [73] (рис. 7).

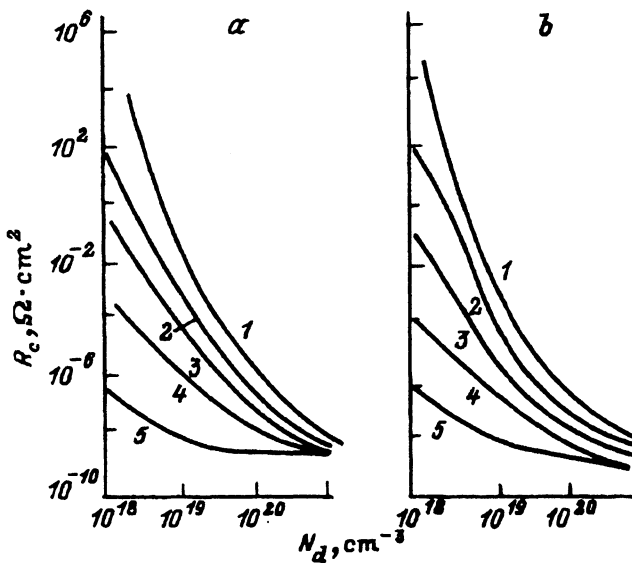


Рис. 7. Термическая зависимость сопротивления омического контакта R_c от концентрации носителей заряда в полупроводнике N_d при туннельном механизме протекания тока для n -GaAs (a) и n -GaSb (b) при различных значениях высоты потенциального барьера [73], эВ: 1 — 1, 2 — 0.8, 3 — 0.6, 4 — 0.4, 5 — 0.2. $T = 300$ К.

3.2. Сопротивление приконтактного слоя. Сопротивление приконтактного слоя складывается из сопротивления сильно легированной (или варизонной) толщи полупроводника и сопротивления, связанного с $l-h$ -переходом (или гетеропереходом).

Сопротивление сильно легированной приконтактной толщи обычно мало. Например, сопротивление слоя n^+ -GaAs ($n^+ = 10^{19} \text{ см}^{-3}$) толщиной $\sim 1 \text{ мкм}$ при подвижности электронов $\sim 10^3 \text{ см}^2/\text{В} \cdot \text{с}$ составляет $\sim 6 \cdot 10^{-8} \text{ Ом} \cdot \text{см}^2$.

Величина сопротивления, связанного с $l-h$ -, в частности $n-n^+$ -переходом, была оценена в [74, 75]. Было показано, что сопротивление должно быть обратно пропорционально концентрации электронов:

$$R_{n-n^+} \simeq \frac{L_D N_c}{q \mu_n^* K_B N_d N_d^+} \quad (15)$$

(здесь L_D — дебаевская длина для n -области, μ_n^* — подвижность электронов в n -области, N_d^+ — концентрация доноров в n^+ -области, K_B — коэффициент, показывающий во сколько раз концентрация электронов на уровне Ферми в n^+ -области превосходит N_d^+), и оно дает основной вклад в сопротивление омического контакта к GaAs при $N_d < 5 \cdot 10^{17} \text{ см}^{-3}$.

В [70] было показано, что $n-n^+$ -переход можно рассматривать как диод Шоттки без потенциального барьера. Когда $n-n^+$ -переход резкий или когда длина Δx , на которой изменяется концентрация носителей заряда,

$$\Delta x < \sqrt{\tau \mu^* (\mu_2 - \mu_1)} \quad (16)$$

(здесь τ — время релаксации электронов по энергии, $\sim 10^{-12} \text{ с}$; μ^* — подвижность носителей; μ_2 и μ_1 — энергии уровня Ферми в n - и n^+ -областях, отсчитанные от края зоны проводимости), то основным механизмом протекания тока в таком переходе является термоэлектронная эмиссия. Поэтому сопротивление, связанное с $n-n^+$ -переходом, определяется по той же формуле (8),

$$R_{n-n^+} = \frac{k}{q A^* T} \frac{1}{\ln[1 + \exp(\mu_2/kT)]}, \quad (17)$$

и если в слабо легированной области $\mu_2 \gg kT/q$, то

$$R_{n-n^+} = k N_c / q A^* T N_d. \quad (18)$$

В результате рис. 6 дает зависимость сопротивления, связанного с $n-n^+$ -переходом, от концентрации носителей в слабо легированной области.

Общее сопротивление омического контакта зависит от соотношения между толщиной сильно легированного слоя и шириной слоя объемного заряда, причем в низкоомных контактах оно определяется главным образом сопротивлением $l-h$ -перехода.

3.3. Экспериментальные результаты.

3.3.1. Методы определения сопротивления контакта. Для определения сопротивления омического контакта R_c , которое может быть сравнимо по величине или даже меньше сопротивления толщи кристалла, разработан ряд методов, из которых наиболее распространены следующие:

— создают ряд равноудаленных контактов; через два внешних пропускают ток, и сопротивление контакта определяют из зависимости напряжения между одним из внешних и каждым промежуточным контактом, от расстояния между ними [76];

— изготавливают ряд полупроводниковых структур одинаковой площади и различной толщины, содержащих два омических контакта, и сопротивление контакта определяют из зависимости сопротивления структур от их толщины [77];

— на одной поверхности пластины толщиной t создают ряд контактов круглой формы и различного диаметра D , а на другой поверхности — сплошной контакт. Сопротивление контакта рассчитывают из общего сопротивления структуры, равного

$$R = (\rho/\pi D) \operatorname{arctg}(4t/D) + 4R_c(\pi D^2) + R_0 \quad (19)$$

(здесь ρ — удельное сопротивление толщи полупроводника, R_0 — сопротивление, не зависящее от D), причем при малых D величина R определяется в основном значением R_c [78, 79];

— измеряют сопротивление структуры на постоянном и переменном токе высокой частоты, при этом предполагается, что при достаточно высокой частоте сопротивление контакта шунтируется его емкостью и регистрируется только сопротивление толщи.

Кроме этих способов, используются методы линии передачи [80], магнитосопротивления [81] и др.

3.3.2. Зависимость сопротивления омического контакта от концентрации носителей заряда в полупроводнике. Сопротивление омического контакта металл–полупроводник, как было показано в [77] на примере контакта In–n-GaAs, обратно пропорционально концентрации носителей: $R_c = 10^{13}/N_d \text{ Ом} \cdot \text{см}^2$. В дальнейшем эта закономерность была подтверждена во многих работах и, согласно [82–84], является общей для различных полупроводников и способов изготовления контактов.

По мере развития технологии сопротивление контактов снижалось приблизительно на порядок в десятилетие [27, 35, 36, 43, 52, 53, 56, 60, 75, 77, 81, 85–95], однако функциональная зависимость по-прежнему сохранялась (рис. 8).

3.3.3. Зависимость сопротивления омического контакта от ширины запрещенной зоны полупроводника. Сопротивление омического контакта металл–полупроводник экспоненциально возрастает с ростом ширины запрещенной зоны полупроводника, и для случая контактов In к полупроводникам системы GaAs–GaP ($E_g = 1.4 \div 2.3 \text{ эВ}$) с $n \approx 5 \cdot 10^{17} \text{ см}^{-3}$ $R_c = R_0 \exp(E_g/E_0)$ [96] (рис. 9), где $R_0 = (3 \pm 2) \cdot 10^{-8} \text{ Ом} \cdot \text{см}^2$, $E_0 = 0.2 \pm 0.02 \text{ эВ}$. Эта зависимость, вероятно, обусловлена различной высотой барьера металл–полупроводник, которая возрастает с ростом ширины запрещенной зоны.

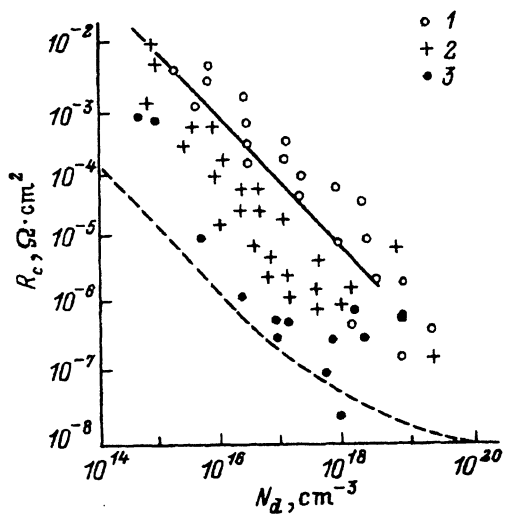


Рис. 8. Зависимость сопротивления омических контактов металл-*n*-GaAs R_c от концентрации электронов в полупроводнике N_d . Сплошная линия — эксперимент [77], пунктириная — теория для минимального сопротивления контакта [70], точки — экспериментальные значения: 1 — работы 60-х годов [77, 86–88], 2 — работы 70-х годов [29, 45, 79, 83, 89–92], 3 — работы 80-х годов [37, 38, 54, 58, 62, 93–95]. $T = 300$ К.

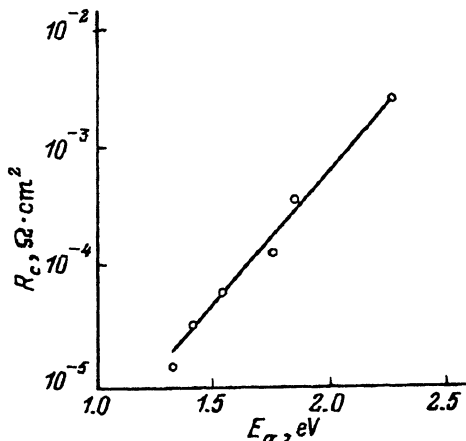


Рис. 9. Зависимость сопротивления омических контактов In-полупроводник *n*-типа ($n \approx 5 \cdot 10^{17}$ см $^{-3}$) R_c от ширины запрещенной зоны E_g твердых растворов Ga $_{1-x}$ As $_x$ P ($x = 0 \div 1$), а также InP. $T = 300$ К.

3.3.4. Механизм протекания тока в омических контактах. Механизм протекания тока определяется на основании температурных и концентрационных зависимостей контактного сопротивления.

При очень высоких концентрациях носителей основным механизмом протекания тока было туннелирование через барьер [61, 72]; высота барьера для туннелирующих носителей на контактах Au+Mn/Au и Ti/Pt/Au-*p*-GaAs:C ($p = 4 \cdot 10^{20}$ см $^{-3}$) оказалась равной ~ 0.5 эВ [61].

При средних концентрациях носителей ток протекает за счет термоэлектронной эмиссии. Температурная зависимость сопротивления контакта Au/Zn/Ni-*p*-InP оказалась экспоненциальной в координатах $R_c T = f(1/T)$, что соответствует формуле (7), а высота барьера, определенная из сравнения эксперимента с теорией термоэлектронной эмиссии, изменялась в пределах 0.2–0.6 эВ в зависимости от температуры термообработки (350–450 °C) [97]. Близкие значения высоты барьера оказались и в других структурах: для Pt/Ti-*p*-GaAs:Zn ($p = 5 \cdot 10^{18} \div 1 \cdot 10^{19}$ см $^{-3}$) $\varphi_B = 0.115 \div 0.118$ эВ, а после прогрева при 450 °C величина φ_B уменьшилась до 0.068 эВ [98], в контактах Pt/In-*p*-InAs:Zn ($p = 10^{18} \div 10^{19}$ см $^{-3}$) $\varphi_B = 0.41$ эВ [99]. В контактах Pt/Ti-*p*-In $_{0.53}$ Ga $_{0.47}$ As ($p = 5 \cdot 10^{18}$ см $^{-3}$) $\varphi_B = 0.13$ эВ [100], причем прогрев при 450 °C приводил к постепенному переходу от термоэлектронной эмиссии к туннелированию на части контактной площади.

Заключение

Итак, к настоящему времени достаточно хорошо разработаны принципы и методика изготовления омических контактов. Лучшие контакты, особенно для GaAs, имеют сопротивление, близкое к теоретическому пределу. Появились первые работы по наблюдению термоэлектронной эмиссии и туннелирования в омических контактах. Однако для установления механизма протекания тока в контактах различных типов еще требуются дальнейшие исследования.

Автор благодарен Б.В.Царенкову за участие в совместных работах по омическому контакту металл-полупроводник.

Работа была поддержанна, в частности, грантом (1993 г.) Международного Научного фонда, которому автор благодарен.

Список литературы

- [1] W. Shottky. Z. Phys., **118** B, 539 (1942).
- [2] A.K. Henish. *Rectifying semiconductor contacts* (Clarendon Press, Oxford, 1957).
- [3] А. Милнес, Д. Фойхт. *Гетеропереходы и переходы металл-полупроводник* (М., Мир, 1975).
- [4] Э.Х. Родерик. *Контакты металл-полупроводник* (М., Радио и связь, 1982).
- [5] J. Bardeen. Phys. Rev., **71**, 717 (1947).
- [6] C.A. Mead. Sol. St. Electron., **9**, 1023 (1966).
- [7] Ю.А. Гольдберг, Т.Ю. Рафиев, Б.В. Царенков, Ю.П. Яковлев. ФТП, **6**, 462 (1972).
- [8] C.A. Mead, W.G. Spitzer. Phys. Rev. Lett., **10**, 471 (1963).
- [9] J.N. Walpole. K.W. Nill. J. Appl. Phys., **42**, 5609 (1971).
- [10] W.E. Spicer, I. Lindau, P.E. Gregory, C.M. Garner, P. Pianetta, P.V. Chye. J. Vac. Sci. Techn., **13**, 780 (1976).
- [11] W.E. Spicer, I. Lindau, P. Skeath, C.Y. Su. J. Vac. Sci. Techn., **17**, 1019 (1980).
- [12] Ю.А. Гольдберг, М.И. Ильина, Е.А. Поссе, Б.В. Царенков. ФТП, **22**, 555 (1988).
- [13] J.L. Freeouf, J.M. Woodall. Appl. Phys. Lett., **39**, 727 (1981).
- [14] J.M. Woodall, J.L. Freeouf. J. Vac. Sci. Techn., **21**, 574 (1982).
- [15] T. Sebestyen. Sol. St. Electron., **25**, 543 (1982).
- [16] A. Robinson. Science, **238**, N 4823, 27 (1987).
- [17] W.O. Barnard, G. Myburg, F.D. Auret. Appl. Phys. Lett., **61**, 1933 (1992).
- [18] C.J. Sandroff, R.N. Nottenburg, J.C. Bischoff, R. Bhat. Appl. Phys. Lett., **51**, 33 (1987).
- [19] M.S. Carpenter, M.R. Melloch, M.S. Lundstrom, S.P. Tobin. Appl. Phys. Lett., **52**, 2157 (1988).
- [20] Y. Nannishi, J.-F. Fan, H. Oigawa, A. Koma. Japan. J. Appl. Phys., **27**, L2367 (1988).
- [21] J.-F. Fan, H. Oigawa, Y. Nannishi. Japan. J. Appl. Phys., **27**, L2125 (1988).
- [22] M.S. Carpenter, M.R. Melloch, T.E. Dungan. Appl. Phys. Lett., **53**, 66 (1988).
- [23] J. Massies, J. Chaplart, M. Laviron, N.T. Linh. Appl. Phys. lett., **39**, 693 (1981).
- [24] J.S. Forest, D. Moustakas. Appl. Phys. Lett., **62**, 2859 (1993).
- [25] A. Piotrowska. Thin Sol. Films, **193/194**, 511 (1990).
- [26] J.S. Harris, Y. Nannishi, G.L. Pearson, G.F. Day. J. Appl. Phys., **40**, 4575 (1969).
- [27] J. Gyulai, J.W. Mayer, V. Rodriguez, A.Y.C. Yu, H.J. Gopen. J. Appl. Phys., **42**, 3578 (1971).
- [28] C.Y. Chang, Y.K. Fang, S.M. Sze. Sol. St. Electron., **14**, 541 (1971).
- [29] G.Y. Robinson. Sol. St. Electron., **18**, 331 (1975).
- [30] N. Yokoyama, S. Ohkawa, H. Ishikawa. Japan. J. Appl. Phys., **14**, 1071 (1975).
- [31] H. Hartnagel, K. Tomizawa, L.H. Herron, B.L. Weiss. Thin Sol. Films, **36**, 393 (1976).
- [32] P.D. Vyas, B.L. Sharma. Thin Sol. Films, **51**, L21 (1978).
- [33] O. Aina, S.W. Chiang, Y.S. Liu, F. Bacon. J. Electrochem. Soc., **128**, 2183 (1981).
- [34] M.I. Nathan, M. Heiblum. Sol. St. Electron., **25**, 1063 (1982).

- [35] S. Yasuami, Y. Saito, A. Hojo. Japan. J. Appl. Phys., **23**, 379 (1984).
- [36] A. Christou. Sol. St. Electron., **22**, 141 (1979).
- [37] C.L. Chen, L.J. Mahoney, J.D. Woodhouse, M.C. Finn, P.M. Nitishin. Appl. Phys. Lett., **50**, 1179 (1987).
- [38] C.L. Chen, L.J. Mahoney, M.C. Finn, R.C. Brooks, A. Chu. Appl. Phys. Lett., **48**, 535 (1986).
- [39] M. Otsubo, H. Kumabe, H. Miki. Sol. St. Electron., **20**, 617 (1977).
- [40] Y.-C. Shih, M. Murakami, E.L. Wilkie, A.C. Callegari. J. Appl. Phys., **62**, 582 (1987).
- [41] L. Zheng. J. Appl. Phys., **71**, 3566 (1992).
- [42] R.J. Graham, R.W. Nelsonm, P. Williams, T.B. Haddock, E.P. Baaklini, R.J. Roedel. J. Electron. Mater., **19**, 1257 (1990).
- [43] L.S. Yu, L.C. Wang, E.D. Marshall, S.S. Lau, T.F. Kuech. J. Appl. Phys., **65**, 1621 (1989).
- [44] L.C. Wang, B. Zheng, K. Fang, E.D. Marshall, S.S. Lau, T. Sands, T.F. Kuech. J. Mater. Res., **3**, 992 (1988).
- [45] H.R. Grinolds, G.Y. Robinson. Sol. St. Electron., **23**, 973 (1980).
- [46] K. Shenai. IEEE Trans. Electron. Dev. ED-**34**, 1642 (1987).
- [47] J.G. Werthen, D.R. Scifres. J. Appl. Phys., **52**, 1127 (1981).
- [48] O. Aina, W. Ketz, B.J. Baliga, K. Rose. J. Appl. Phys., **53**, 777 (1982).
- [49] A. Illiadis. J. Vac. Sci. Techn. B, **5**, 1340 (1987).
- [50] M.A. Dornath-Mohr, W.W. Cole, H.S. Lee, D.C. Fox, D.W. Eckart, L. Yerke, C.S. Wrenn, R.T. Lereau, W.H. Chang, K.A. Jones, F. Cosanday. J. Electron. Mater., **19**, 1247 (1990).
- [51] Y.-C. Shih, M. Murakami, W.H. Price. J. Appl. Phys., **65**, 3539 (1989).
- [52] R. Dutta, M.A. Shahid, P.J. Sakach. J. Appl. Phys., **69**, 3968 (1991).
- [53] P.Sircar. Phys. St. Sol. (a), **97**, K69 (1986).
- [54] A. Piotrowska, A. Guivarch, G. Pelous. Sol. St. Electron., **26**, 179 (1983).
- [55] S. Margalit, D. Fekete, D.M. Pepper, C.-P. Lee, A. Yariv. Appl. Phys. Lett., **33**, 346 (1978).
- [56] R. Stall, C.E.C.Wood, K. Board, N. Dandekar, L.F. Eastman, J. Devlin. J. Appl. Phys., **52**, 4062 (1981).
- [57] P.D. Kircher, T.N. Jackson, G.D. Petit, J.M. Woodall. Appl. Phys. Lett., **47**, 26 (1985).
- [58] J.M. Woodall, J.L. Freeouf, G.D. Petit, T. Jackson, P.D. Kirchner. J. Vac. Sci. Techn., **19**, 626 (1981).
- [59] C.K. Peng, J. Chen, J. Chyi, H. Morkoc. J. Appl. Phys., **64**, 429 (1988).
- [60] T. Nittono, H. Ito, O. Nakajima, T. Ishibashi. Japan. J. Appl. Phys., **27**, 1718 (1988).
- [61] H. Shimawaki, N. Furuhata, K. Houjo. J. Appl. Phys., **69**, 7979 (1991).
- [62] N.S. Kumar, J.-I. Chyi, C.K. Peng, H. Morkoc. Appl. Phys. Lett., **55**, 775 (1989).
- [63] C.K. Peng, G. Ji, N.S. Kumar, H. Morkoc. Appl. Phys. Lett., **53**, 900 (1988).
- [64] J.R. Shealy, S.R. Chinn. Appl. Phys. Lett., **47**, 410 (1985).
- [65] K. Ohata, T. Nozaki, N. Kawamura. IEEE Trans. Electron. Dev. ED-**24**, 1129 (1977).
- [66] T. Inada, S. Kato, T. Hara, N. Toyoda. J. Appl. Phys., **50**, 4466 (1979).
- [67] L. Mozzi, W. Fabian, F.J. Piekarski. Appl. Phys. Lett., **35**, 337 (1979).
- [68] P.A. Pianetta, C.A. Stolte, J.L. Hansen. Appl. Phys. Lett., **36**, 597 (1980).
- [69] F.A. Padovani, R. Stratton. Sol. St. Electron., **9**, 695 (1966).
- [70] R.K. Kupka, W.A. Anderson. J. Appl. Phys., **69**, 3623 (1991).
- [71] М. Шур. Современные приборы на основе арсенида галлия (М., Мир, 1991).
- [72] A.Y.C. Yu. Sol. St. Electron., **13**, 239 (1970).
- [73] S.M. Cho, J.D. Lee, H.H. Lee. J. Appl. Phys., **70**, 282 (1991).
- [74] Wu. Dingfen, K. Heime. Electron. Lett., **18**, 940 (1982).
- [75] Wu. Dingfen, W. Denning, K. Heine. Sol. St. Electron., **29**, 489 (1986).
- [76] А. Фаренбух, Р. Бьюб. Солнечные элементы. Теория и эксперимент (М., Энергоатомиздат, 1987).
- [77] Ю.А. Гольдберг, Б.В. Шаренков. ФТП, **3**, 1718 (1969).
- [78] R.H. Cox, H. Strack. Sol. St. Electron., **12**, 89 (1969).
- [79] K. Heime, U. Konig, E. Kohn, A. Wortmann. Sol. St. Electron., **17**, 835 (1974).
- [80] H.H. Berger. J. Electrochem. Soc., **119**, 507 (1972).
- [81] L.Gutai, T. Mojres. Appl. Phys. Lett., **26**, 325 (1975).

- [82] A.K. Sinha, T.E. Smith, H.J. Levinstein. IEEE Trans. Electron. Dev. **ED-22**, 218 (1975).
- [83] W.D. Edwards, W.A. Hartman, A.B. Torrens. Sol. St. Electron., **15**, 387 (1972).
- [84] N. Braslau. J. Vac. Sci. Techn., **19**, 804 (1981).
- [85] R.H. Cox, H. Strack. Sol. St. Electron., **10**, 1213 (1967).
- [86] H. Matino, M. Tokunaga, J.W. Herrick, M.F. Adams. J. Electrochem. Soc., **116**, 709 (1969).
- [87] R. Schwarz, J.C. Sarace. Sol. St. Electron., **9**, 859 (1966).
- [88] K.L. Klohn, L. Wandinge. J. Electrochem. Soc., **116**, 507 (1969).
- [89] F. Vidimari. Electron. Lett. **15**, 674 (1979).
- [90] M. Ogawa, K. Ohata, T. Furutsuka, N. Kawamura. IEEE Trans. MTT, MTT-**24**, 300 (1976).
- [91] S. Asai. Proc 5 th Conf. of Sol. St. Dev.(Tokyo, 1973) p. 442.
- [92] Vipin.-Kumar, Tahur Dass Raghav. *Techniques for making ohmic contacts* (Allahabad, Vijnana Parishad, 1980).
- [93] C. Ghosh, R. Yenigalla, K. Atkins. IEEE Trans. Electron. Dev. Lett., **EDL-4**, 301 (1983).
- [94] D.C. Marvin, N.A. Ives, M.S. Leung. J. Appl. Phys., **58**, 2659 (1985).
- [95] L.C. Wang, X.Z. Wang, S.S. Lau, T. Sands, W.K. Chan, T.F. Kuech. Appl. Phys. Lett., **56**, 2129 (1990).
- [96] Ю.А. Гольдберг, Т.В. Львова, Р.В. Хасиева, Б.В. Шаренков. ФТП, **22**, 1712 (1988).
- [97] T. Clausen, O. Lestiko. Appl. Phys. Lett., **62**, 1108 (1993).
- [98] A. Katz, S. Nakahara, W. Savin, B.E. Weir. J. Appl. Phys., **68**, 4133 (1990).
- [99] A. Katz, C.N.G. Chu, B.E. Weir, W.C. Dautremont-Smith, R.A. Logan, T. Tabun-Ek, W. Savin, D.W. Harris. J. Appl. Phys., **68**, 4141 (1990).
- [100] S.N.G. Chu, A. Katz, T. Boone, P.M. Thomas, Y.G. Riggs, W.C. Dautrenont-Smith, W.D. Jonston. J. Appl. Phys., **67**, 3754 (1990).

Редактор В.В.Чалдышев
